

Kryptografie a počítačová bezpečnost

Symetrické algoritmy

Literatura

- <https://www.cs.vsb.cz/ochodkova/courses/kpb/cryptography-and-network-security-principles-and-practice-7th-global-edition.pdf>
- Kapitola 4.1 – 4.5
- Kapitola 6
- Kapitola 7.1
- <https://csrc.nist.gov/csrc/media/projects/cryptographic-standards-and-guidelines/documents/aes-development/rijndael-ammended.pdf>

Moderní algoritmy

- Kryptoanalýza moderních šifer je nesrovnatelně složitější než u historických šifer.
- Moderní kryptografické algoritmy (a další bezpečnostní mechanismy) jsou považovány (oprávněně) za „zbraně“.
- Kryptografie a kryptoanalýza jsou zbožím dvojího užití – pro obranu i pro útok. Jsou to zbraně, i podle našeho zákona.
- Import/export: Wassenaarská dohoda o vývozní kontrole klasických zbraní a **zboží dvojího použití (určení)**, <http://www.wassenaar.org>, Ministerstvo průmyslu a obchodu ČR
- Proto dříve
 - restrikce - např. symetrický algoritmus jen klíč 56b, vývoz dnes poměrně liberální, výjimky 7 zemí (Cuba, Iran, Iraq, Libya, North Korea, Sudan, Syria)
 - Irák a Libye vyřazeny po roce 2002 a dále se to mění
- Nyní EU – kvantová kryptografie:
 - <https://esipa.cz/sbirka/sbsrv.dll/sb?DR=SB&CP=32022R0001>

Symetrická kryptografie (SK)

- Proudové, blokové
- Jedny z nejvíce užívaných kryptografických algoritmů.
- Výhody SK:
 - rychlá hardwarová implementace,
 - relativně „krátké“ klíče,
 - mohou být „skládány“ a poté využity pro vytváření silných šifer
 - mohou být využity pro jako základní prvek pro konstrukci různých kryptografických mechanismů (PRNG, digitální podpis, hašovací funkce, ...).
- Nevýhody SK:
 - klíč musí být udržován v tajnosti oběma stranami,
 - management klíčů je náročný ($n \cdot (n-1)/2$ klíčů) pro n uživatelů,
 - klíč by měl být měněn (jak často?),
 - digitální podpis založený na SK vyžaduje velký „klíč“ nebo TTP.

Porovnání velikosti klíčů

- V současnosti již platí nová doporučení, nicméně nejsou ve formě jedné tabulky, proto pro ilustraci je uvedena tato.
- Jinak nově viz viz <https://nvlpubs.nist.gov/nistpubs/SpecialPublications/NIST.SP.800-131Ar2.pdf>

NIST Recommendations (2016) - Page 2

Keys length recommendations

Date	Minimum of Strength	Symmetric Algorithms	Factoring Modulus	Discrete Logarithm Key Group		Elliptic Curve	Hash (A)	Hash (B)
(Legacy)	80	2TDEA*	1024	160	1024	160	SHA-1**	
2016 - 2030	112	3TDEA	2048	224	2048	224	SHA-224 SHA-512/224 SHA3-224	
2016 - 2030 & beyond	128	AES-128	3072	256	3072	256	SHA-256 SHA-512/256 SHA3-256	SHA-1
2016 - 2030 & beyond	192	AES-192	7680	384	7680	384	SHA-384 SHA3-384	SHA-224 SHA-512/224
2016 - 2030 & beyond	256	AES-256	15360	512	15360	512	SHA-512 SHA3-512	SHA-256 SHA-512/256 SHA-384 SHA-512 SHA3-512

All key sizes are provided in bits. These are the minimal sizes for security.

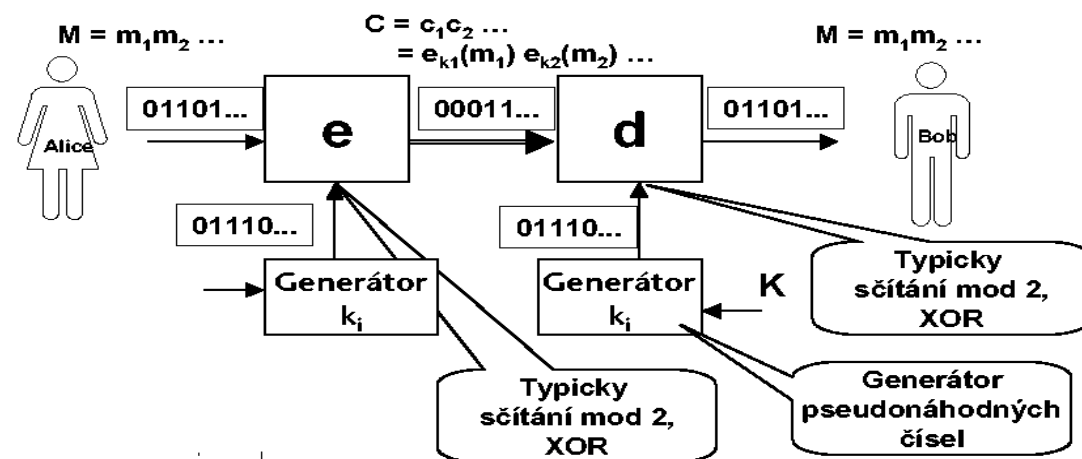
TDEA (Triple Data Encryption Algorithm) and AES are specified in [10].

Hash (A): Digital signatures and hash-only applications.

Hash (B): HMAC, Key Derivation Functions and Random Number Generation.

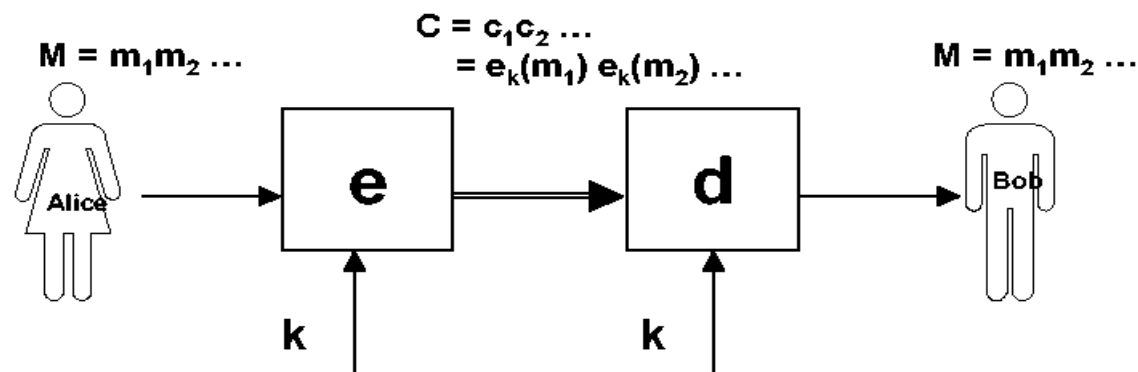
Proudové algoritmy

- Otevřený text se zpracovává bit po bitu nebo byte po byte.
- Snadná implementace a rychlá šifra.
- Nešíří se chyby - 1 chyba v ŠT způsobí 1 chybu v OT.
- Není ochrana proti manipulaci se šifrou, není zajištěna integrita zprávy.
- Matematicky je lze analyzovat snadněji (nízká úroveň difuze).
- Výhodné pro hardwarovou implementaci.
- Např. RC4, A5, Sober,



Blokové algoritmy

- Otevřený text se zpracovává po n-bitových blocích, typicky nyní $n \geq 128$.
- ŠT má stejnou délku jako OT
- Délka zprávy musí být podstatně větší než délka bloku, délka bloku musí být dostatečně velká, aby se zabránilo slovníkovému útoku.
- Klíče je třeba často měnit.
- Chyba v jednom bitu OT ovlivní celý blok ŠT



Teoretické základy blokových algoritmů (1)

- Koncept moderní kryptografie navrhli C. Shannon a H. Feistel.
 - Claude Shannon: „Communication Theory of Secrecy Systems“, Bell System Technical Journal, Oct 1949,
 - „Prediction and Entropy of printed English“, Bell System Technical Journal, Jan 1951.
- Koncept:
 - entropie, redundance jazyka (redundance ve zprávě je dostačující k jejímu prolomení),
 - teorie o tom kolik informace je třeba pro zlomení šifrovaného textu - stanovil teoretickou míru bezpečnosti šifry pomocí neurčitosti otevřeného textu, když je dán šifrovaný text.
- Koncept:
 - Vernamův algoritmus je jediný absolutně bezpečný systém,
 - šíření chyb,
 - výběr klíče
 - Konfuse, difuse (u klasických (historických) šifer je velmi slabá (vzhledem k OT i ke klíči)),
 - Úplnost
 - Lavinový efekt
 - S-P network

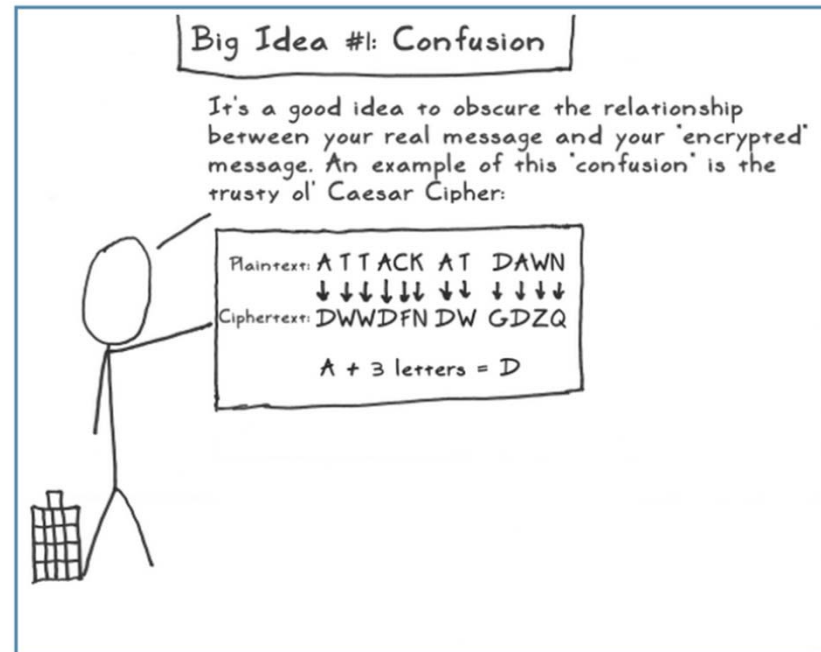
Teoretické základy blokových algoritmů (2)

- Shannon:

- Kvalitní n-bitové blokové šifry se jeví jako náhodné permutace na množině n-bitových bloků, $f: \{0,1\}^n \rightarrow \{0,1\}^n$. Ideální by bylo použít jednu extrémně velkou substituci, což není příliš praktické vzhledem k např. 2^{128} vstupům pro 128-bitový blok.
- Použijeme tedy menší bloky - **Substitution-permutation (S-P) networks** – moderní forma složených algoritmů.
 - Substituce se realizuje na úrovni bajtů a permutace na úrovni několikabajtových slov (např. 32b) – vzhledem k počtu všech možných substitucí a permutací (snímek 15)
 - SP síť dosahuje požadovaných vlastností (difúze, konfúze, úplnost, lavinový efekt).
 - Při n násobném opakování (S, P) obdržíme náhodnou permutaci na množině např. $\{0,1\}^{32}$
- Smysl SP sítě bez klíče je omezený.

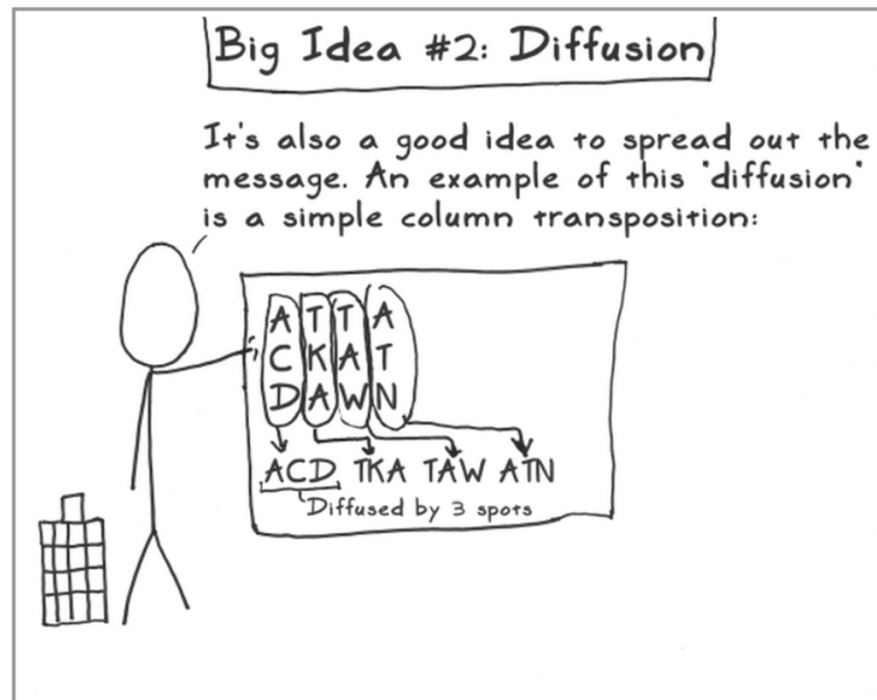
Konfuse

- Konfuse (confusion, záměna, „zmatení“) - komplikuje vztahy mezi statistikou ŠT a klíčem
- realizováno substitucí

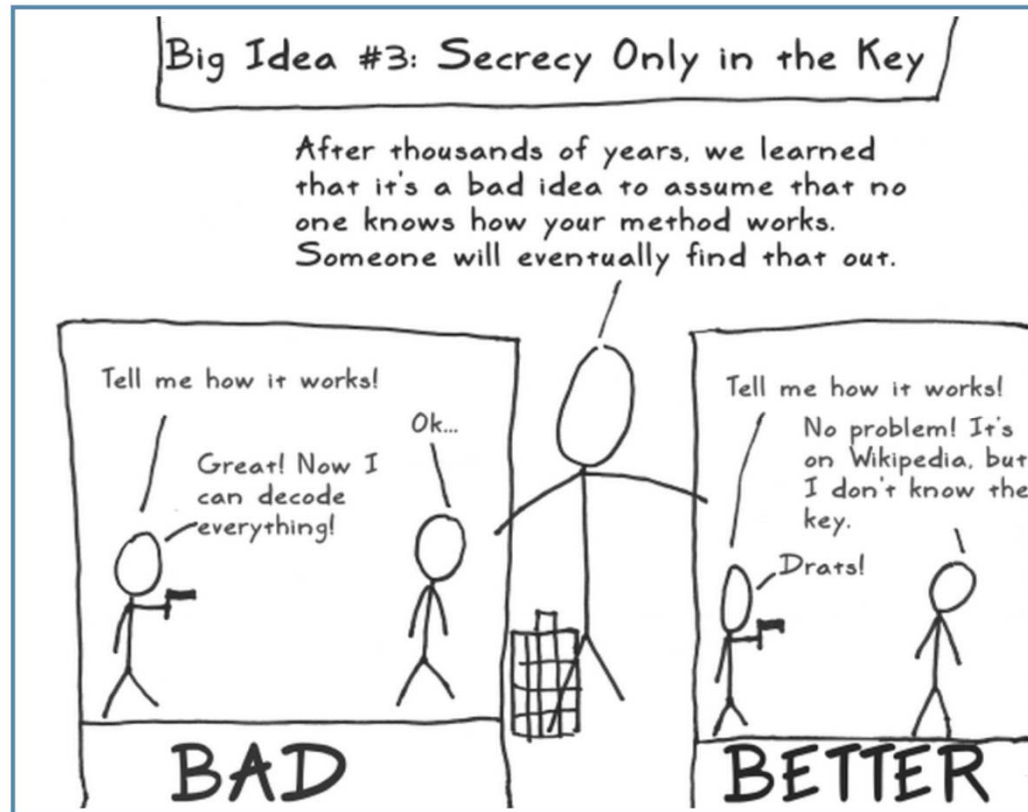


Difuse

- Difuse (diffusion, rozptýlení) - rozptýlení statistiky OT po celé ŠT,
- realizováno permutací



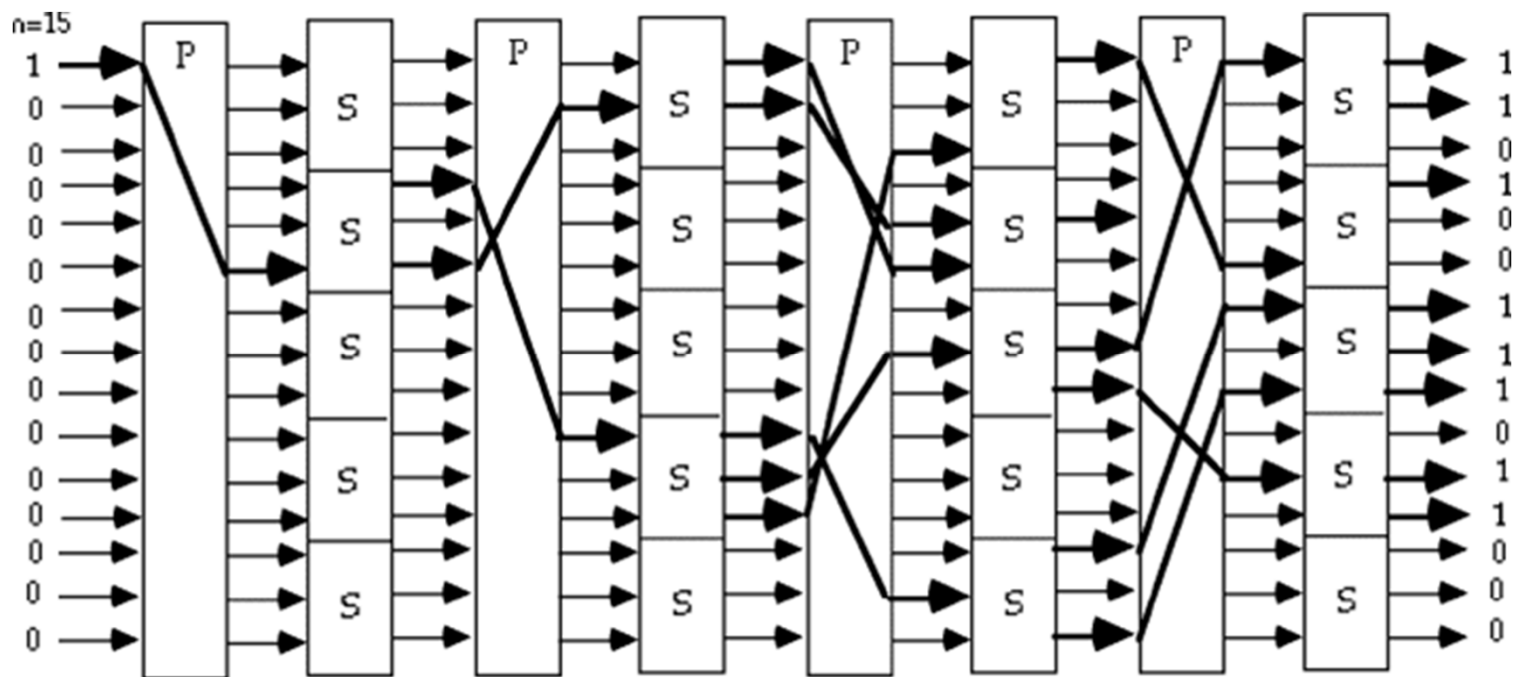
Kerckhoffův princip



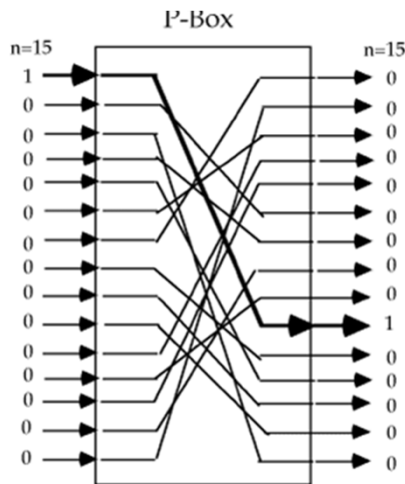
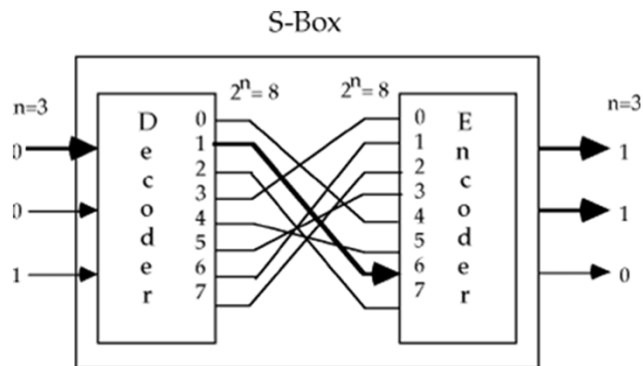
Konstrukce blokových algoritmů

- **Avalanche** (lavinový) efekt – změna jednoho vstupního bitu má vliv na změnu cca poloviny výstupních bitů.
 - Obecně pro funkci f : Pro každý bit i , $0 \leq i < m$, jestliže 2^m vektorů OT rozdělíme na 2^{m-1} dvojic X a X_i (každý pár se liší jen v bitu i) a jestliže 2^{m-1} provedeme jejich XOR, pak porovnáme-li $V_i = f(X) \oplus f(X_i)$ zjistíme, že asi polovina těchto součtů je 1.
- **Completeness** (úplnost) – každý výstupní bit je funkcí všech vstupních bitů (takže útočník nemůže při útoku použít strategii "rozděl a panuj").
 - Obecně pro funkci f : Pro každý bit j , $0 \leq j < m$ výstupního (šifrového) vektoru, existuje nejméně jeden pár vektorů OT X a X_i , který se liší jen v bitu i , a pro který $f(X)$ a $f(X_i)$ se liší v bitu j .
- Dobrý návrh (konstrukce) algoritmu má avalanche, completeness, nepředvídatelnost, nahodilost.
- Špatný návrh - algoritmus má nedostatek nahodilosti a příliš mnoho předvídatelnosti.

Lavinový efekt



Složené algoritmy



- **Substituce:**

- Binární slovo je nahrazeno jiným binárním slovem.
- Pokud použijeme n-bitová slova, klíč je 2^n , roste velmi rychle s rostoucím n (možných $(2^n)!$ substitucí).
- Tzv. **S-boxy**

- **Permutace:**

- Binární slovo je „přeuspořádáno“ (permutováno), permutace formuje klíč, tedy pro n-bitové slovo máme klíč n bitový.
- Roste pomaleji, je tak méně bezpeč. než substituce, jen $n!$ možných permutací.
- Tzv. **P-boxy**.

Počet S-boxů

An s-box is a bijective function $f : \{0, 1\}^b \rightarrow \{0, 1\}^b$. This reduces the question to "how many of those f exist".

To see this easily, imagine domain and image of this function as two boxes with 2^b elements. How many different sets of arrows can you imagine between those two sets?

For the first arrow, you have 2^b choices. For the second arrow, you have $2^b - 1$ choices. For the third, $2^b - 2$, and so forth to the last arrow, where there's one choice left.

Multiplying those together, you would get $2^b(2^b - 1)(2^b - 2) \dots 1 = 2^b!$ possible s-boxes, so in your 16-bit case that makes $2^{16}!$ possibilities.

To put this more mathematically, an s-box is a permutation of 2^b elements, and there are $2^b!$ such permutations.

Konstrukce blokových algoritmů

- Mohou být použity ve všech režimech (ECB, CBC, ...)
- Softwarová implementace snazší než u proudových šifer.
- Pro šifrování a dešifrování zprávy
 - můžeme definovat inverzní boxy ke každému S & P-boxu, ale tím zdvojnásobíme softwarové/hardwarové požadavky, nebo
 - definujeme snadno invertovatelné (reversibilní) struktury tak, abychom mohli použít stejný kód nebo hardware pro šifrování i dešifrování.
- Je lepší použít otestované a prokázané konstrukce algoritmů.
- První algoritmus Lucifer - 1973

Kryptografie a počítačová bezpečnost

AES

AES - Rijndael (1)

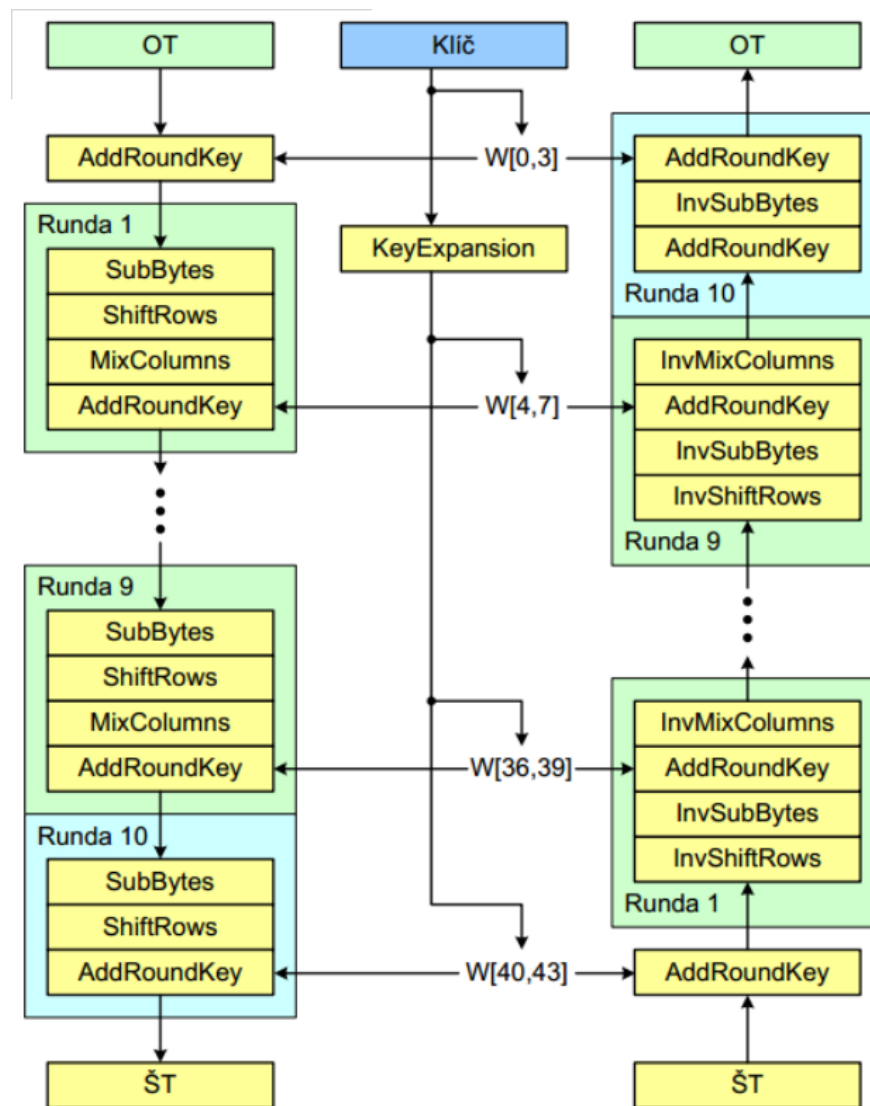
- Soutěž o nový symetrický standard vyhlášena v lednu 1997, z 15 zaslaných algoritmů (k 8/1998) do finále postoupilo 5 algoritmů (9/1999):
 - Kritéria výběru: **bezpečnost**, **cena** (efficiency / intellectual property), **flexibilita**
 - algoritmy RC6, Twofish, MARS, Serpent, Rijndael
- vítěz Rijndael [Rejndál:] [Rájndol:] (autory jsou Belgičané V. Rijmen, J. Daemen)
- AES - NIST standard v FIPS PUB 197, pravděpodobně opět nejrozšířenější symetrický algoritmus, **bez licence**.
- Standard platí od 26.5.2002
- Režimy činnosti – v různých režimech (příště)
- V protokolech např. SSL/TLS, S/MIME a jinde
- Nemá strukturu Feistelovy šifry (jako např. DES, později)

AES - Rijndael (2)

- Pro AES (tedy ve standardu) je
 - délka vstupního a výstupního bloku definována jako 128 bitů, ale algoritmus podporuje i větší bloky.
 - Délka klíče je volitelná - 128, 192, 256 bitů, což je N_k 32-bitových slov, kde $N_k = 4, 6, 8$.
 - Uvedeným délkám klíče odpovídá $N_r = 10, 12, 14$ kol (iterací, rund) algoritmu (iterovaná šifra).
- Rijndael je velmi flexibilní. Návrh je přímočarý a za základ jsou použity operace s prvky z $GF(2^8)$ (Galoisovo těleso (někdy později), bajty).
- Příslušné operace s nimi lze provádět buď
 - tabulkově, což je výhodné pro implementaci softwarovou
 - nebo výpočtem přímo – hardwarová implementace.

AES - Rijndael (3)

- Bajtově orientovaný návrh umožňuje optimalizovat programový kód pro různé mikroprocesory
 - od procesorů na čipových kartách až po digitální signálové procesory, na programovatelných hradlových polích, na specializovaných integrovaných obvodech.
 - Obvody typu FPGA (Field Programmable Gate Array) mají z programovatelných obvodů nejobecnější strukturu a obsahují nejvíce logiky (Současné největší obvody FPGA obsahují až 6 a více milionů ekvivalentních hradel (typické dvouvstupové hradlo NAND)).
- Animace algoritmu na <https://www.youtube.com/watch?v=gP4PqVGudtg> (stejná animace je v Cryptoolu, viz web předmětu. Je tam také animace DESu)
- Jiný dobře vysvětlený princip AESu <http://www.moserware.com/2009/09/stick-figure-guide-to-advanced.html>



Další blokové algoritmy

- Lucifer, FEAL, LOKI, GOST, CAST, Blowfish, IDEA, RC5, SKIPJACK, TWOFISH, SERPENT, MARS, RC6, 3DES.....
- Charakteristika některých symetrických blokových šifer
 - Proměnná délka klíče (Blowfish, RC5, CAST...)
 - Použití více Booleovských operací
 - Proměnlivá funkce F (CAST)
 - Proměnlivý počet rund (RC5)
 - Operace s oběma polovinami zprávy (IDEA, Blowfish)
 - S-boxy závislé na klíči (Blowfish)
 - Rotace (místo S-boxů) závislá
 - na klíči (CAST)
 - na datech (RC5)

Kryptografie a počítačová bezpečnost

DES

Feistelova síť (1)

- Některé blokové šifry mají tzv. Feistelovu strukturu (např. DES), jiné nikoliv (např. AES)
- Použité pojmy: délka bloku, počet kroků, algoritmus generování podklíče, funkce f , iterovaná šifra
- Feistelova síť:
 - n kroků (iterací, rund), všechny jsou identické.
 - Blok zprávy m_i se dělí na dvě poloviny L_i, R_i
 - Klíč k se dělí na podklíče k_i
 - Funkce f kroku se aplikuje na R_i pomocí k_i :
$$L_i = R_{i-1}, R_i = L_{i-1} \oplus f(R_{i-1}, k_i).$$
 - V f se uplatňují S-boxy a P-boxy.
 - Dešifrování je totožný proces jako šifrování, podklíče se používají v opačném pořadí.

Feistelova síť

(2)

Feistel Ciphers and S-P-Networks

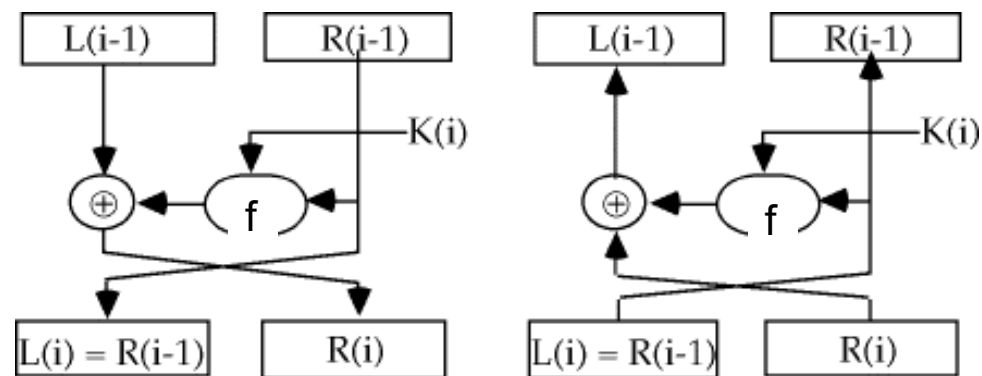
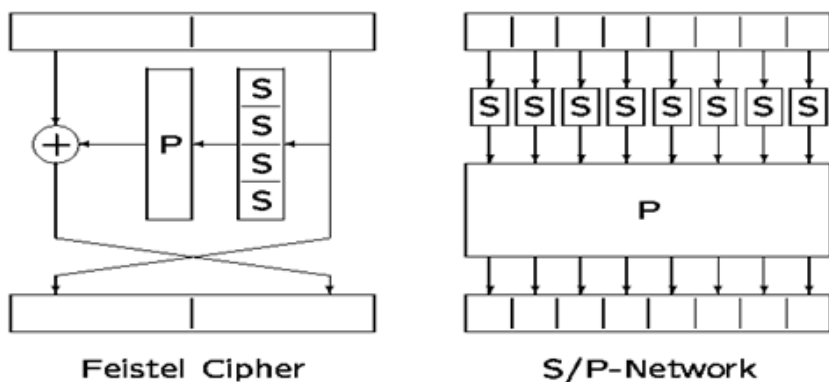


Fig 2.4 - A Round of a Feistel Cipher

DES

(1)

- Standard
 - Patent 1975, Od r.1977 do (s výhradami) r.1998 standard FIPS PUB 46-2,
 - také ANSI (American National Standard) X3.92-1981/R1987.
- Režimy činnosti DESu (později):
 - FIPS PUB 81 – ECB, CBC, OFB, CFB,
 - ANSI bankovní standard – ECB, CBC pro šifrování, CBC a CFB pro autentizaci.
- DES založen na proprietárním algoritmu Lucifer (IBM, navržen Feistelem), který měl klíč 128 bitů. Klíč DESu byl zkrácen na 64 (56) bitů (požadavek NSA - implementace na jeden čip).
- 2^{56} klíčů je 72,057,594,037,927,936 klíčů
- Ze 64 bitů klíče je každý osmý paritní, proto 56-bitový klíč
- Iterovaná šifra – 16 iterací (rund)

DES

(2)

- „Lavinovitost“ – ano
- Konfuse ano - korelace mezi OT a ŠT, a mezi ŠT a K – vlastnost statisticky testována → neexistuje
- Difuse – každý bit K a OT mají vliv na každý bit ŠT, tento vliv je velmi komplikovaný
 - Na tuto složitost mají největší vliv „nelineární“ S-boxy
 - Každý výstupní bit je nelineární funkcí všech vstupních bitů (XOR, AND).
 - Kdyby byly S- boxy lineární (tj. všechny výstupní bity by byly jen XOR kombinacemi vstupních bitů) → pak by všech 64 bitů bloku ŠT bylo jen lineární kombinací bitů OT a K, což by se dalo vyřešit soustavou lineárních rovnic ($M_1 \oplus M_2 \oplus \dots \oplus C_1 \oplus C_2 \oplus \dots = K_1 \oplus K_2 \oplus \dots$).

Útoky na DES

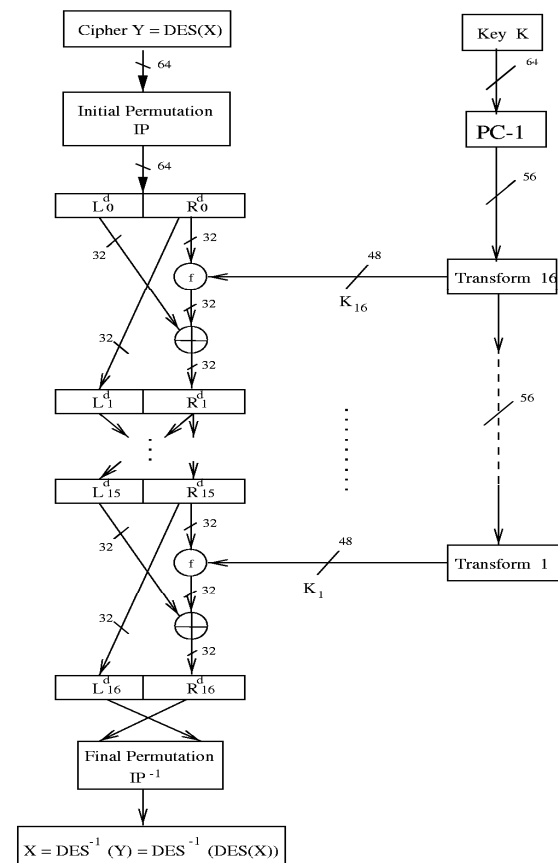
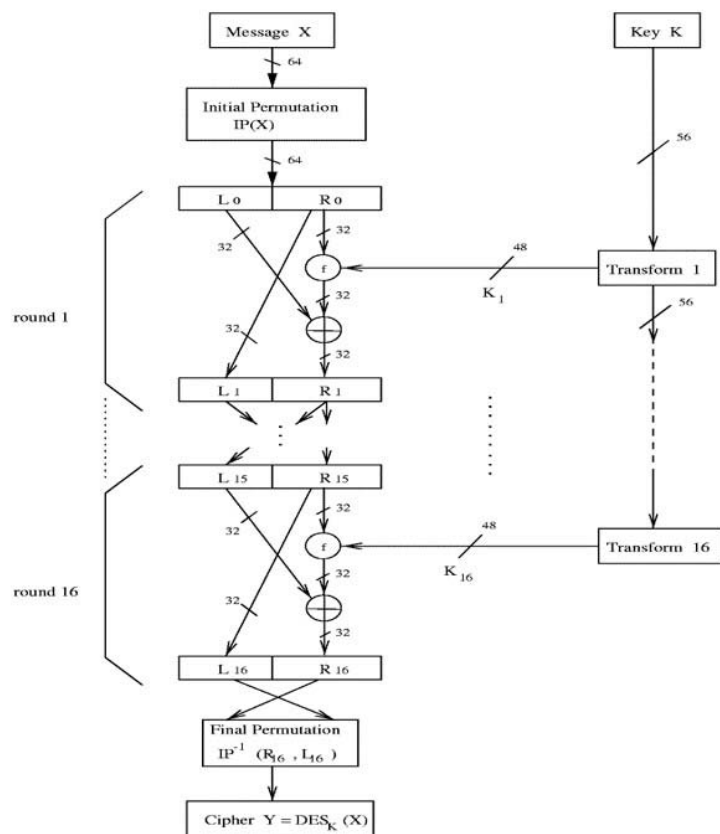
- Praktický útok – malá délka klíče
 - DES cracker (Deep Crack), 17.7.1998, HW stroj,
 - cena útoku 210 000 USD (130 000 za HW)
 - 29 desek se 64 čipy, testování **90 MLD klíčů/sec.**
 - umožňuje **bruteforce attack do 9 dní**
 - Výzva DES Challenge III, 19.1.1999 za **22 hod.15 min.**, kombinace Distributed.Net (okolo 100.000 PC) a Deep Crack (<http://www.emc.com/emc-plus/rsa-labs/historical/des-challenge-iii.htm>)

Deep Crack

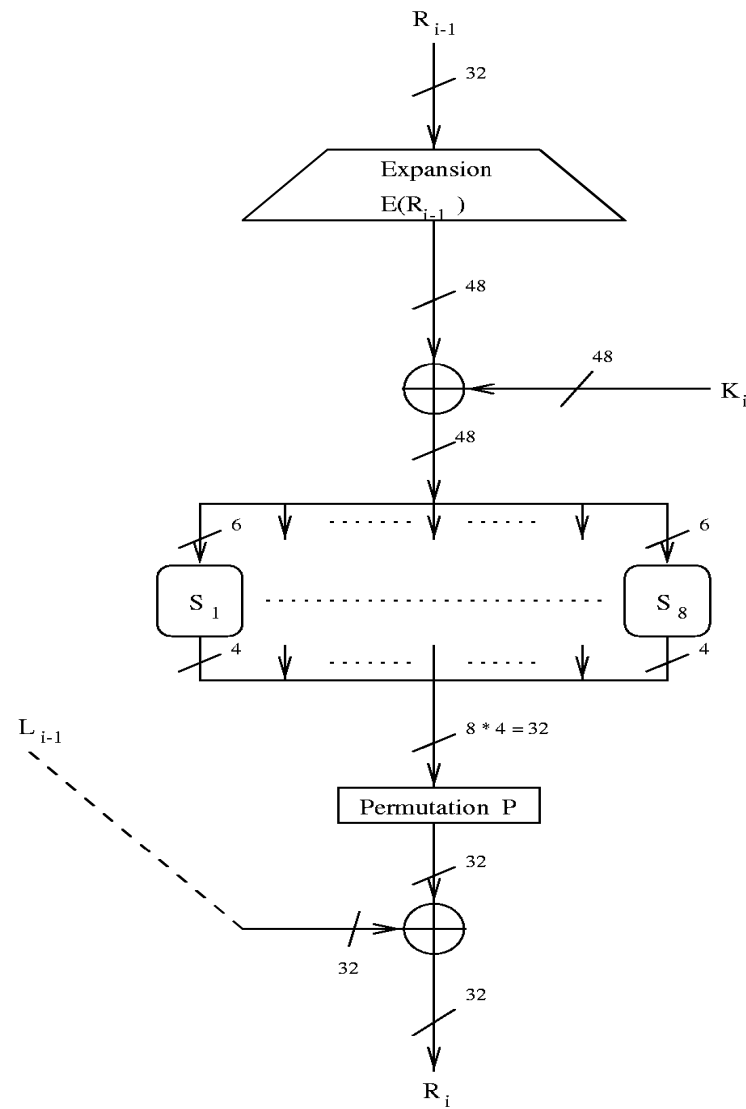


- Praktický útok – malá délka klíče
 - DES cracker (Deep Crack), 17.7.1998, HW stroj,
 - cena útoku 210 000 USD (130 000 za HW)
 - 29 desek se 64 čipy, testování 90 MLD klíčů/sec.
 - umožňuje bruteforce attack do 9 dní
 - Výzva DES Challenge III, 19.1.1999 za 22 hod.15 min., kombinace Distributed.Net (okolo 100.000 PC) a Deep Crack (<http://www.emc.com/emc-plus/rsa-labs/historical/des-challenge-iii.htm>)

DES - šifrování a dešifrování



DES - Funktion f



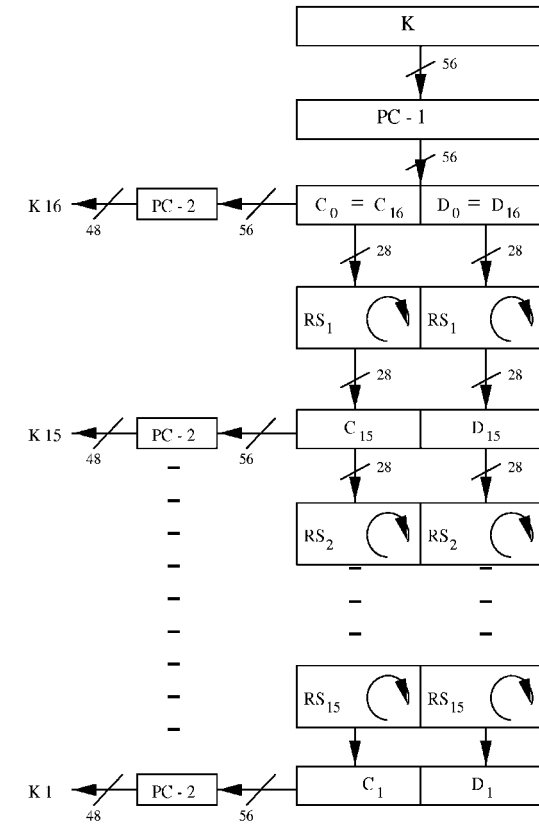
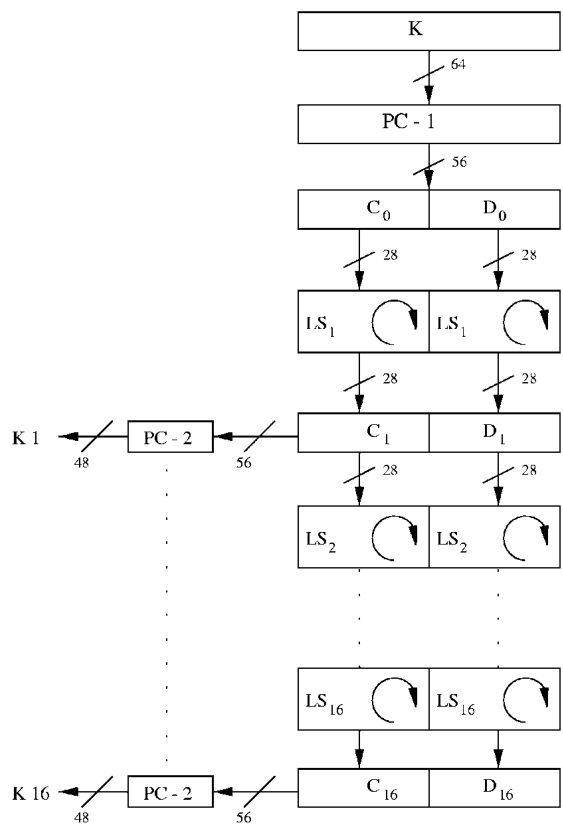
DES - Funkce f: S-box

- Vstupem je 6 bitů, výstupem 4 bity např.: $S_1(100101)_2=(37)_{10}$
 - nejlevější a nejpravější bit jsou indexem řádku (indexováno od 0), tj. $(11)_2=(3)_{10}$
 - vnitřní 4 bity jsou indexem sloupce (indexováno od 0), tj. $(0010)_2=(2)_{10}$
 - $S_{ij}=S_{32}=(8)_{10}=(1000)_2$ – výstup
- Nelineární $S(a) \oplus S(b) \neq S(a \oplus b)$.

S1															
14	4	13	1	2	15	11	8	3	10	6	12	5	9	0	7
0	15	7	4	14	2	13	1	10	6	12	11	9	5	3	8
4	1	14	8	13	6	2	11	15	12	9	7	3	10	5	0
15	12	8	2	4	9	1	7	5	11	3	14	10	0	6	13

S-Box 1

DES - schéma generování podklíčů pro šifrování resp. dešifrování



DES - generování podklíčů

- Klíče – podklíče lze vytvářet souběžně se zpracováním otevřeného textu (tzv. on-the-fly) nebo předem.
- Ze 64 bitů klíče se používá 56 (zbývajících 8 se používají jako paritní bity (každý nejnižší bit se považuje za lichou paritu)).
- Bity jsou posouvány cyklicky o jeden nebo dva bity:
- Pro šifrování
 - $LS_i=1,2,9,16$ se posouvá o jeden bit doleva
 - Pro $LS_i \neq 1,2,9,16$ se posouvá o dva bity doleva
- Pro dešifrování RS_i se posouvá cyklicky o 0,1,2,2,2,2,2,2,1,2,2,2,2,2,2,1 bitů doprava

DES - slabé a „poloslabé“ klíče

weak key (hexadecimal)	C_0	D_0
0101 0101 0101 0101	$\{0\}^{28}$	$\{0\}^{28}$
FEFE FEFE FEFE FEFE	$\{1\}^{28}$	$\{1\}^{28}$
1F1F 1F1F 0E0E 0E0E	$\{0\}^{28}$	$\{1\}^{28}$
E0E0 E0E0 F1F1 F1F1	$\{1\}^{28}$	$\{0\}^{28}$

Four DES weak keys.

- Krátký klíč (kritika už od 70. let)
- Slabé klíče K : $E_K(M)=M$
- „Poloslabé“ klíče (K_1, K_2): $E_{K_2}(E_{K_1}(M))=M$

C_0	D_0	semi-weak key pair (hexadecimal)	C_0	D_0
$\{01\}^{14}$	$\{01\}^{14}$	01FE 01FE 01FE 01FE, FE01 FE01 FE01 FE01	$\{10\}^{14}$	$\{10\}^{14}$
$\{01\}^{14}$	$\{10\}^{14}$	1FE0 1FE0 0EF1 0EF1, E01F E01F F10E F10E	$\{10\}^{14}$	$\{01\}^{14}$
$\{01\}^{14}$	$\{0\}^{28}$	01E0 01E0 01F1 01F1, E001 E001 F101 F101	$\{10\}^{14}$	$\{0\}^{28}$
$\{01\}^{14}$	$\{1\}^{28}$	1FFE 1FFE 0EFE 0EFE, FE1F FE1F FE0E FE0E	$\{10\}^{14}$	$\{1\}^{28}$
$\{0\}^{28}$	$\{01\}^{14}$	011F 011F 010E 010E, 1F01 1F01 0E01 0E01	$\{0\}^{28}$	$\{10\}^{14}$
$\{1\}^{28}$	$\{01\}^{14}$	E0FE E0FE F1FE F1FE, FEE0 FEE0 FEF1 FEF1	$\{1\}^{28}$	$\{10\}^{14}$

Six pairs of DES semi-weak keys (one pair per line).

DES - další vlastnosti

- Komplementárnost:

$$E_K(M) = \text{non}(E_{\text{non } K}(\text{non } M))$$

snižuje složitost útoku hrubou silou o jeden bit.

DES - dvojité šifrování

- Dvojité šifrování: $c = e_{k_2}(e_{k_1}(m))$, $m = d_{k_1}(d_{k_2}(c))$.
- **DoubleDES** – klíč 2^{112} bitový
- Útok **meet-in-the-middle**, known plaintext attack.
- Princip:
 - Označme $e_{k_1}(m) = X = d_{k_2}(c)$.
 - Mějme známou dvojici (m_1, c_1) . Nejprve zašifrujme otevřený text m_1 všemi 2^{56} hodnotami klíče k_1 .
 - Získané šifrové texty uložíme do tabulky, setřídíme podle hodnoty X .
 - Potom dešifrujme nám známý šifrový text c_1 všemi 2^{56} hodnotami klíče k_2 .
 - Každou získanou hodnotu ihned hledáme v tabulce.
 - Pokud ji nalezneme, použijme příslušné klíče k_1, k_2 na jinou dvojici (m_2, c_2) . Pokud získáme korektní c_2 , našli jsme korektní dvojici klíčů.
- Místo 2^{112} šifrování a dvou známých párů (OT,ŠT) potřebujeme k úspěchu **2 páry** (OT,ŠT), 2^{57} šifrování, dalších 2^{56} operací, 2^{56} jednotek paměti (2^{56} 64-bitových bloků, tj. 10^{17} bajtů paměti), obecně úspěch již po 2^{56} pokusech.

DES - trojité šifrování – 3DES

- Umělé zesílení DES, 1999 FIPS PUB 46-3, prodloužení klíče na 56 (+ 56) + 56 bitů.
- Používá se všude tam, kde je potřeba schválený a relativně bezpečný algoritmus a nevadí zpomalení.
- Dva různé klíče (**3DES₁₁₂** (také TripleDES)), Tuchman, 1978 (dnes se nedoporučuje se používat 3DES₁₁₂):

$$c = e_{k_1}(d_{k_2}(e_{k_1}(m))), m = d_{k_1}(e_{k_2}(d_{k_1}(c))),$$

- Tři různé klíče (Merklova varianta, **3DES₁₆₈**), DH 1977 a Merkle 1979:

$$c = e_{k_3}(d_{k_2}(e_{k_1}(m))), m = d_{k_1}(e_{k_2}(d_{k_3}(c))).$$

- Útok na 3DES₁₆₈
 - Útok hrubou silou je nereálný
 - Nejlepší útok vyžaduje:
 - 2^{32} known plaintexts, 2^{113} steps, 2^{90} single DES encryptions, and 2^{88} memory
 - This is not currently practical and NIST considers it to be appropriate through 2030.